

**ЛЕКЦИЯ №12.** Оценка комплексной амплитуды сигнала. Оценка времени запаздывания сигнала. Оценка частоты сигнала со случайной фазой. Совместная оценка времени запаздывания и частоты сигнала со случайной фазой. Расчет погрешности оценок.

### 3.2.2. Оценки амплитуды и фазы детерминированного сигнала

Рассмотрим пример совместной оценки амплитуды и фазы детерминированного сигнала  $s(t)$ . В этом случае наблюдаемый сигнал имеет вид

$$x(t) = s(t, a, \varphi) + n(t), \quad (3.76)$$

где  $s(t, a, \varphi) = \operatorname{Re}[a\dot{S}(t) \cdot e^{j\omega_0 t + \varphi}]$ ,  $\dot{S}(t)$  - комплексная огибающая сигнала,  $\varphi$  - начальная фаза,  $a$  - амплитуда сигнала.

Функционал правдоподобия имеет вид

$$p(x|a, \varphi) = c \cdot \exp\left\{-\frac{1}{N_0} [E_x - 2aZ(\varphi) + a^2 E_s]\right\}. \quad (3.77)$$

Используя ранее полученное соотношение  $Z(\varphi) = |\dot{Z}| \cos(\varphi - \arg(\dot{Z}))$ , получим алгоритм оценивания в виде

$$\begin{aligned} \begin{pmatrix} \hat{a} \\ \hat{\varphi} \end{pmatrix} &= \arg \max_{a, \varphi} \left( c \cdot \exp\left\{-\frac{1}{N_0} [E_x - 2aZ(\varphi) + a^2 E_s]\right\} \right) = \\ &= \arg \max_{a, \varphi} \left( \exp\left\{-\frac{1}{N_0} [E_x - 2a|\dot{Z}| \cos(\varphi - \arg(\dot{Z})) + a^2 E_s]\right\} \right) = \\ &= \arg \max_{a, \varphi} \left( [2a \cos(\varphi - \arg(\dot{Z})) - a^2 E_s] \right) = \\ &= \begin{pmatrix} |\dot{Z}| \frac{1}{E_s} \\ \arg(\dot{Z}) \end{pmatrix}. \end{aligned} \quad (3.78)$$

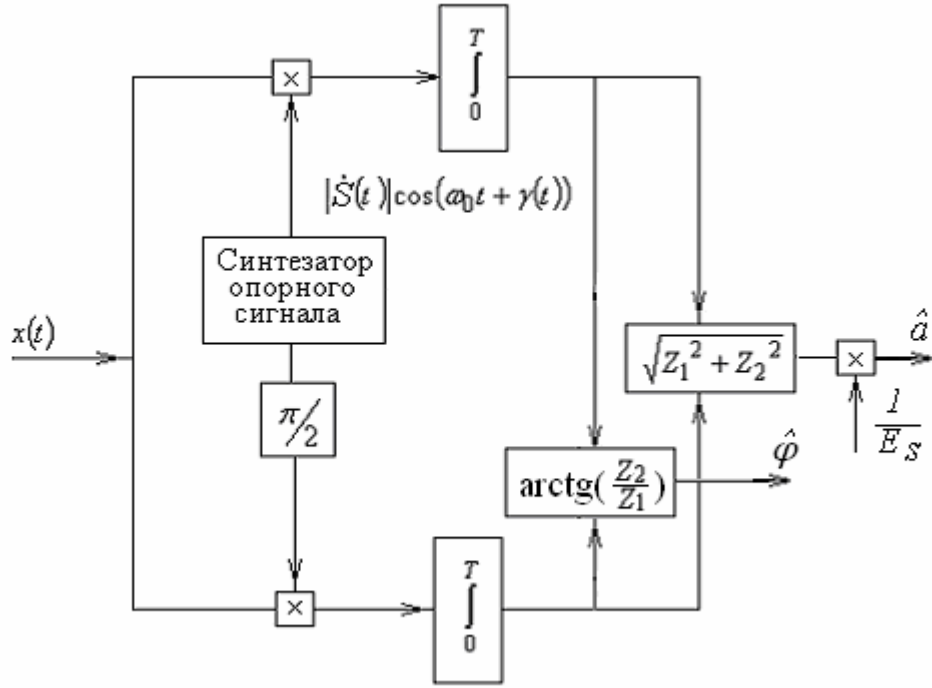


Рис.3.7. Структурная схема устройства совместной оценки амплитуды и фазы сигнала на фоне белого шума.

Определим погрешность совместного оценивания амплитуды и фазы сигнала. В соответствии с (3.78) запишем

$$\ln p(x|a, \varphi) = \ln(c) - \frac{E_x}{N_0} + \frac{2a|\dot{Z}|}{N_0} \cos(\varphi - \arg(\dot{Z})) - \frac{a^2 E_s}{N_0}. \quad (3.79)$$

Вычислим коэффициенты информационной матрицы Фишера

$$\begin{aligned} \Phi_{11} &= -\mathbf{M} \left\{ \frac{\partial^2}{\partial a \partial a} \ln(p(x|a, \varphi)) \right\} = \frac{2E_s}{N_0} = q^2, \\ \Phi_{12} &= -\mathbf{M} \left\{ \frac{\partial^2}{\partial a \partial \varphi} \ln(p(x|a, \varphi)) \right\} = \frac{-2}{N_0} \mathbf{M} \left\{ \frac{\partial}{\partial \varphi} |\dot{Z}| \cos(\varphi - \arg(\dot{Z})) \right\} = \\ &= \frac{-2}{N_0} \mathbf{M} \left\{ \dot{Z} |\sin(\varphi - \arg(\dot{Z}))| \right\} = \frac{-2}{N_0} \mathbf{M} \left\{ \text{Im}(\dot{Z} e^{j\varphi}) \right\} = \\ &= \frac{-2}{N_0} \mathbf{M} \left\{ \text{Im} \left( \frac{1}{2} \int_{-\infty}^{+\infty} X^*(t) \dot{S}(t) dt \cdot e^{j\varphi} \right) \right\} = \frac{-2}{N_0} \text{Im} \left( \frac{1}{2} \int_{-\infty}^{+\infty} \mathbf{M} \{ X^*(t) \} \dot{S}(t) dt \cdot e^{j\varphi} \right) = \\ &= \frac{-2a_0}{N_0} \text{Im} \left( \frac{1}{2} \int_{-\infty}^{+\infty} |\dot{S}(t)|^2 dt \cdot e^{j\varphi - \varphi_0} \right) \Big|_{\varphi = \varphi_0} = \frac{-2a_0}{N_0} \text{Im}(E_s) = 0, \\ \Phi_{21} &= \Phi_{12} = 0, \end{aligned}$$

$$\begin{aligned}\Phi_{22} &= -\mathbf{M}\left\{\frac{\partial^2}{\partial\varphi\partial\varphi}\ln(p(x|a,\varphi))\right\} = \frac{-2a}{N_0}\mathbf{M}\left\{\frac{\partial}{\partial\varphi}|\dot{Z}|\sin(\varphi - \arg(\dot{Z}))\right\} = \\ &= \frac{2a}{N_0}\mathbf{M}\left\{\operatorname{Re}(\dot{Z}e^{j\varphi})\right\} = \frac{2aa_0}{N_0}\operatorname{Re}\left(\frac{1}{2}\int_{-\infty}^{+\infty}|\dot{S}(t)|^2 dt \cdot e^{j\varphi-\varphi_0}\right)\Bigg|_{\substack{\varphi=\varphi_0 \\ a=a_0}} = \frac{2a_0^2 E_s}{N_0} = a_0^2 q^2,\end{aligned}$$

где  $a_0, \varphi_0$  - истинные значения амплитуды и фазы.

Таким образом, информационная матрица Фишера и ей обратная матрица имеют вид

$$\mathbf{\Phi}(a_0, \varphi_0) = \begin{pmatrix} q^2 & 0 \\ 0 & a_0^2 q^2 \end{pmatrix}, \quad \mathbf{\Phi}^{-1}(a_0, \varphi_0) = \begin{pmatrix} \frac{1}{q^2} & 0 \\ 0 & \frac{1}{a_0^2 q^2} \end{pmatrix}. \quad (3.80)$$

Погрешность оценки амплитуды и фазы можно вычислить по формулам

$$\begin{aligned}\mathbf{D}\{\hat{a}_0, \varphi_0\} &= \frac{1}{q^2}, \\ \mathbf{D}\{\hat{\varphi}_0, \varphi_0\} &= \frac{1}{a_0^2 q^2}.\end{aligned} \quad (3.81)$$

### 3.2.3. Оценка времени запаздывания детерминированного сигнала

Рассмотрим случай оценки времени запаздывания детерминированного сигнала  $s(t)$ . В этом случае наблюдаемый сигнал имеет вид

$$x(t) = s(t - \tau) + n(t), \quad (3.82)$$

где  $\tau$  - неизвестное время запаздывание сигнала. Очевидно, что время запаздывания является неэнергетическим параметром. В этом случае мы можем воспользоваться алгоритмом (3.59), т.е.

$$\hat{\tau} = \arg \max_{\tau} Z(\tau) = \arg \max_{\tau} \int_{-\infty}^{\infty} s(t - \tau)x(t)dt. \quad (3.83)$$

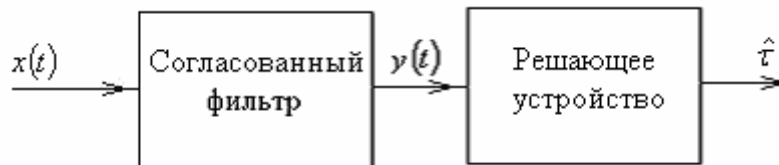


Рис.3.8. Структурная схема устройства оценки временной задержки сигнала на фоне белого шума.

Определим погрешность оценки задержки, используя формулу (3.71)

$$\mathbf{D}\{\hat{\tau}\} = \frac{1}{q^2 \Psi''(0)}.$$

Вычислим вторую производную функции неопределенности (3.70), воспользовавшись спектральными представлениями сигналов

$$s(t) \xrightarrow{\Phi} s(j\omega),$$

$$s(t - \tau) \xrightarrow{\Phi} s(j\omega)e^{-j\omega\tau},$$

$$\Psi(\tau) = \frac{1}{E} \int_{-\infty}^{+\infty} s(t - \tau)s(t)dt.$$

Воспользуемся равенством Рэлея для преобразования Фурье, тогда

$$\Psi(\tau) = \frac{1}{2\pi E} \int_{-\infty}^{+\infty} s^*(j\omega)e^{j\omega\tau} s(j\omega)d\omega = \frac{1}{2\pi E} \int_{-\infty}^{+\infty} |s(j\omega)|^2 e^{j\omega\tau} d\omega. \quad (3.84)$$

Свойство дифференцирования оригинала дает возможность определить производные функции неопределенности в виде

$$\Psi'(\tau) = \frac{1}{2\pi E} \int_{-\infty}^{+\infty} j\omega |s(j\omega)|^2 e^{j\omega\tau} d\omega,$$

$$\Psi''(\tau) = \frac{-1}{2\pi E} \int_{-\infty}^{+\infty} \omega^2 |s(j\omega)|^2 e^{j\omega\tau} d\omega.$$

Тогда

$$\Psi''(0) = \frac{-1}{2\pi E} \int_{-\infty}^{+\infty} \omega^2 |s(j\omega)|^2 d\omega = -\frac{\int_{-\infty}^{+\infty} \omega^2 |s(j\omega)|^2 d\omega}{\int_{-\infty}^{+\infty} |s(j\omega)|^2 d\omega} = -(\Delta\omega_{\text{эф}})^2, \quad (3.85)$$

где  $\Delta\omega_{\text{эф}}$  - **эффективная полоса частот** сигнала. Если сигнал  $s(t)$  - узкополосный, как, например, радиосигнал, то  $\Delta\omega_{\text{эф}} \approx \omega_0$  - несущая частота радиосигнала. Если  $s(t)$  - низкочастотный сигнал, например видеосигнал, то  $\Delta\omega_{\text{эф}} \approx \Delta\omega$  - полоса частот видеосигнала.

Погрешность оценки времени запаздывания детерминированного сигнала имеет вид

$$\mathbf{D}\{\epsilon\} = \frac{1}{q^2 (\Delta\omega_{\text{эф}})^2}. \quad (3.86)$$

### 3.2.4. Оценка времени запаздывания сигнала со случайной начальной фазой

Рассмотрим задачу оценки времени запаздывания сигнала со случайной начальной фазой. В этом случае наблюдаемый сигнал имеет вид

$$x(t) = s(t - \tau, \varphi) + n(t), \quad (3.87)$$

где  $s(t, \varphi) = \text{Re}[\dot{S}(t) \cdot e^{j\omega_0 t + \varphi}]$ ,  $\dot{S}(t)$  - комплексная огибающая сигнала  $s(t, \varphi)$ ,  $\varphi$  - случайная фаза, равномерно распределенная на интервале  $(-\pi; \pi)$ .

В соответствии с (3.64) алгоритм оценивания задержки сигнала можно записать в виде

$$\tau = \arg \max_{\tau_0} |\dot{Z}(\tau_0)| = \arg \max_{\tau_0} \left| \frac{1}{2} \int_{-\infty}^{+\infty} X^*(t) \dot{S}(t - \tau_0) dt \right|. \quad (3.88)$$

Структура измерителя соответствует схеме показанной на Рис.3.5. Определим погрешность измерителя.

$$\begin{aligned} \Phi(\tau_0) &= -\mathbf{M} \left\{ \left. \frac{d^2}{d\tau^2} \ln(p(x|\tau)) \right|_{\tau=\tau_0} \right\} = -\mathbf{M} \left\{ \left. \frac{d^2}{d\tau^2} \ln \left( \frac{1}{2\pi} \int_{-\pi}^{\pi} p(x|\tau, \varphi) d\varphi \right) \right|_{\tau=\tau_0} \right\} = \\ &= -\mathbf{M} \left\{ \left. \frac{d^2}{d\tau^2} \left( I_0 \left( \frac{2|\dot{Z}(\tau)|}{N_0} \right) - \frac{E}{N_0} \right) \right|_{\tau=\tau_0} \right\} = -\mathbf{M} \left\{ \left. \frac{d^2}{d\tau^2} \left( I_0 \left( \frac{2|\dot{Z}(\tau)|}{N_0} \right) \right) \right|_{\tau=\tau_0} \right\}. \end{aligned} \quad (3.89)$$

Для случая достаточно высокого отношения сигнал-шум и  $\tau \rightarrow \tau_0$   $\frac{2|\dot{Z}(\tau)|}{N_0} \gg 1$ . Тогда  $I_0(x) \approx x$  и (3.89) можно записать в виде

$$\begin{aligned} \Phi(\tau_0) &= -\mathbf{M} \left\{ \left. \frac{d^2}{d\tau^2} \left( \frac{2|\dot{Z}(\tau)|}{N_0} \right) \right|_{\tau=\tau_0} \right\} = -\frac{2}{N_0} \frac{d^2}{d\tau^2} (\mathbf{M} \{ \dot{Z}(\tau) \}) \Big|_{\tau=\tau_0} = \\ &= -\frac{2E}{N_0} \frac{d^2}{d\tau^2} \left( \mathbf{M} \left\{ \left. \frac{1}{2E} \int_{-\infty}^{+\infty} S^*(t - \tau_0) \dot{S}(t - \tau) dt + \frac{1}{2E} \int_{-\infty}^{+\infty} N^*(t) \dot{S}(t - \tau) dt \right. \right\} \right) \Big|_{\tau=\tau_0} = \\ &= -\frac{2E}{N_0} \frac{d^2}{d\tau^2} (\mathbf{M} \{ \dot{\Psi}(\tau - \tau_0) + \dot{\Pi}(\tau) \}) \Big|_{\tau=\tau_0}, \end{aligned} \quad (3.90)$$

где  $\dot{N}(t)$  - комплексная огибающая белого шума,  $\dot{\Psi}(\tau - \tau_0)$  - комплексная функция неопределенности сигнала, характеризующая автокорреляцию комплексных огибающих сигнала.

Анализируя последнее выражение, заметим, что математическое ожидание вычисляется от суммы детерминированной компоненты  $\dot{\Psi}(\tau - \tau_0)$ , которая при  $\tau \rightarrow \tau_0$  стремится к 1 и случайной компоненты  $\dot{\Pi}(\tau)$ , дисперсия которой  $\frac{N_0}{2E} \ll 1$ .

Таким образом, при требовании высокого отношения сигнал-шум вклад шумового компонента в последнем выражении значительно меньше максимума функции неопределенности. Поэтому влияние случайной компоненты шума далее можно не учитывать. Тогда получим выражение для погрешности оценки в виде

$$\mathbf{D}\{\epsilon\} = \frac{-1}{q^2 \frac{d^2}{d\tau^2} (\dot{\Psi}(\tau - \tau_0)) \Big|_{\tau=\tau_0}}, \quad (3.91)$$

где

$$\dot{\Psi}(\tau - \tau_0) = \frac{1}{2E} \int_{-\infty}^{+\infty} S^*(t - \tau_0) \dot{S}(t - \tau) dt. \quad (3.92)$$

Продифференцируем модуль комплексной функции неопределенности сигнала в точке  $\tau = 0$ .

$$\begin{aligned} \frac{d}{d\tau} |\dot{\Psi}(\tau)| &= \frac{\operatorname{Re}[\dot{\Psi}'(\tau) \Psi^*(\tau)]}{|\dot{\Psi}(\tau)|}, \\ \frac{d^2}{d\tau^2} |\dot{\Psi}(\tau)| &= \frac{\operatorname{Re}[\dot{\Psi}''(\tau) \Psi^*(\tau) + \dot{\Psi}'(\tau) \Psi'^*(\tau)]}{|\dot{\Psi}(\tau)|} + \frac{(\operatorname{Re}[\dot{\Psi}'(\tau) \Psi^*(\tau)])^2}{|\dot{\Psi}(\tau)|^3}, \\ \frac{d^2}{d\tau^2} |\dot{\Psi}(\tau)| \Big|_{\tau=0} &= \operatorname{Re}[\dot{\Psi}''(0)] + |\dot{\Psi}'(0)|^2. \end{aligned} \quad (3.93)$$

Используя свойства преобразования Фурье, получим

$$\begin{aligned} \frac{d^2}{d\tau^2} |\dot{\Psi}(\tau)| \Big|_{\tau=0} &= \operatorname{Re} \left[ \frac{-1}{4\pi E} \int_{-\infty}^{+\infty} \omega^2 |\dot{S}(j\omega)|^2 d\omega \right] + \left| \frac{-1}{4\pi E} \int_{-\infty}^{+\infty} j\omega |\dot{S}(j\omega)|^2 d\omega \right|^2 = \\ &= - \left( \frac{\int_{-\infty}^{+\infty} \omega^2 |\dot{S}(j\omega)|^2 d\omega}{\int_{-\infty}^{+\infty} |\dot{S}(j\omega)|^2 d\omega} - \left( \frac{\int_{-\infty}^{+\infty} \omega |\dot{S}(j\omega)|^2 d\omega}{\int_{-\infty}^{+\infty} |\dot{S}(j\omega)|^2 d\omega} \right)^2 \right) = -(\Delta\Omega_{\text{эф}})^2 \end{aligned}$$

В этом выражении  $\Delta\Omega_{\text{эф}}$  - эффективная полоса частот комплексной огибающей сигнала, тогда

$$\mathbf{D}\{\epsilon\} = \frac{1}{q^2 (\Delta\Omega_{\text{эф}})^2}. \quad (3.94)$$

### 3.2.5. Оценка частотного сдвига сигнала со случайной начальной фазой

Рассмотрим задачу частотного сдвига сигнала со случайной начальной фазой. В этом случае наблюдаемый сигнал имеет вид

$$x(t) = s(t, f, \varphi) + n(t), \quad (3.95)$$

где  $s(t, f, \varphi) = \operatorname{Re}[\dot{S}(t) e^{j(\omega_0 + 2\pi f)t + \varphi}]$ ,  $\dot{S}(t)$  - комплексная огибающая сигнала  $s(t)$ ,  $\varphi$  - случайная фаза, равномерно распределенная на интервале  $(-\pi; \pi)$ .

Частотный сдвиг является неэнергетическим параметром, тогда в соответствии с (3.64) алгоритм оценивания задержки сигнала можно записать в виде

$$\tau = \arg \max_{f_0} |\dot{Z}(f_0)| = \arg \max_{f_0} \left| \frac{1}{2} \int_{-\infty}^{+\infty} X^*(t) \dot{S}(t) e^{j2\pi f_0 t} dt \right|. \quad (3.96)$$

Структура измерителя соответствует схеме показанной на Рис.3.5.

Определим погрешность измерителя, следуя той же последовательности действий, что и при анализе погрешности измерителя задержки

$$\Phi(f_0) = -\mathbf{M} \left\{ \frac{d^2}{df^2} \left( I_0 \left( \frac{2|\dot{Z}(f)|}{N_0} \right) \right) \right\}_{f=f_0}. \quad (3.97)$$

Для случая достаточно высокого отношения сигнал-шум ( $q \gg 1$ ) и  $f \rightarrow f_0$ , (3.97) можно записать в виде

$$\Phi(f_0) = -\frac{2E}{N_0} \frac{d^2}{df^2} |\dot{\Psi}(f - f_0)|_{f=f_0}, \quad (3.98)$$

Тогда выражение для погрешности оценки имеет вид

$$\mathbf{D}\{\hat{f}_0\} = \frac{-1}{q^2 \frac{d^2}{df^2} (|\dot{\Psi}(f - f_0)|)_{f=f_0}}, \quad (3.99)$$

где

$$\dot{\Psi}(f - f_0) = \frac{1}{2E} \int_{-\infty}^{+\infty} |\dot{S}(t)|^2 \exp(j2\pi(f - f_0)t) dt. \quad (3.100)$$

Продифференцируем модуль комплексной функции неопределенности  $\dot{\Psi}(f)$  сигнала в точке  $f = 0$ .

$$\frac{d^2}{df^2} |\dot{\Psi}(f)|_{f=0} = \operatorname{Re}[\dot{\Psi}''(0)] + |\dot{\Psi}'(0)|^2. \quad (3.101)$$

Подставим (3.101) в (3.100) и, используя свойства преобразования Фурье, получим

$$\begin{aligned} \frac{d^2}{df^2} |\dot{\Psi}(f)|_{f=0} &= -(2\pi)^2 \left( \operatorname{Re} \left[ \frac{1}{2E} \int_{-\infty}^{+\infty} t^2 |\dot{S}(t)|^2 dt \right] + \left| \frac{1}{2E} \int_{-\infty}^{+\infty} t |\dot{S}(t)|^2 dt \right|^2 \right) = \\ &= -(2\pi)^2 \left( \frac{\int_{-\infty}^{+\infty} t^2 |\dot{S}(t)|^2 dt}{\int_{-\infty}^{+\infty} |\dot{S}(t)|^2 d\omega} - \left( \frac{\int_{-\infty}^{+\infty} t |\dot{S}(t)|^2 dt}{\int_{-\infty}^{+\infty} |\dot{S}(t)|^2 dt} \right)^2 \right) = -(2\pi\Delta T_{\varphi})^2. \end{aligned}$$

В этом выражении  $\Delta T_{\varphi}$  - эффективная длительность комплексной огибающей сигнала, тогда

$$\mathbf{D}\{\hat{f}_0\} = \frac{1}{q^2 (2\pi\Delta T_{\varphi})^2}. \quad (3.102)$$

Анализируя (3.94) и (3.102) легко заметить, точность оценивания задержки тем лучше, чем хуже точность определения частотного сдвига сигнала и наоборот. В этом смысле короткие сигналы эффективны при оценке задержки, а

продолжительные, для оценки частотного сдвига.

### 3.2.6. Совместное оценивание временной задержки и частотного сдвига сигнала со случайной начальной фазой

Рассмотрим задачу совместного оценивания временной задержки и частотного сдвига сигнала со случайной начальной фазой. Наблюдаемый сигнал имеет вид

$$x(t) = s(t - \tau, f, \varphi) + n(t), \quad (3.103)$$

где  $s(t - \tau, f, \varphi) = \text{Re}[\dot{S}(t - \tau)e^{j(\omega_0 + 2\pi f)t + \varphi}]$ ,  $\dot{S}(t)$  - комплексная огибающая сигнала  $s(t)$ ,  $\varphi$  - случайная фаза, равномерно распределенная на интервале  $(-\pi; \pi)$ .

Время запаздывания и частотный сдвиг являются неэнергетическими параметрами, тогда в соответствии с (3.64) алгоритм оценивания можно записать в виде

$$\tau = \arg \max_{\tau_0, f_0} |\dot{Z}(\tau_0, f_0)| = \arg \max_{\tau_0, f_0} \left| \frac{1}{2} \int_{-\infty}^{+\infty} X^*(t) \dot{S}(t - \tau_0) e^{j2\pi f_0 t} dt \right|. \quad (3.104)$$

Структура измерителя на базе квадратурных согласованных фильтров (КСФ) имеет вид, показанный на Рис.3.9. Алгоритм работы измерителя (3.104) реализуется в виде  $M$  параллельных КСФ, каждый из которых настроен на одну из частот  $f_1, f_2, \dots, f_M$ , равномерно разбивающих диапазон измерений по шкале частот. Решающее устройство анализирует  $M$  сигналов и определяет номер канала и значение времени задержки, при котором наблюдается максимальное значение модуля комплексного корреляционного интеграла.

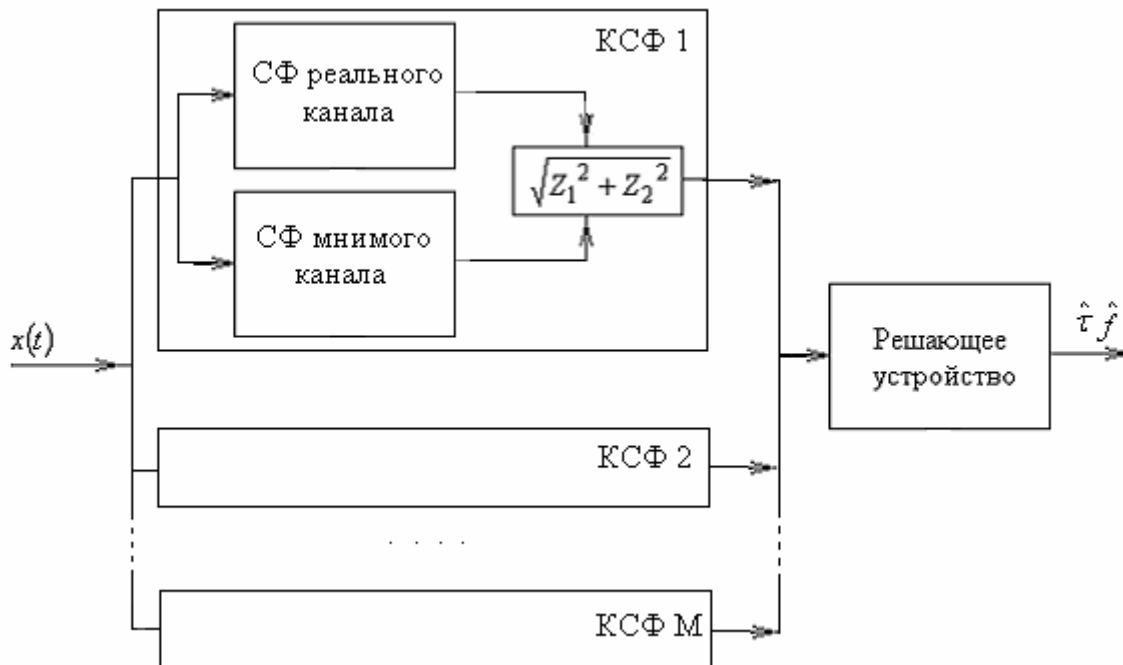


Рис.3.9. Структурная схема устройства совместной оценки частотного сдвига и задержки сигнала со случайной фазой на фоне белого шума.

Определим погрешность измерителя, следуя стандартной последовательности действий. Для этого найдем коэффициенты информационной матрицы Фишера. Для случая высокого значения отношения

сигнал-шум и  $f \rightarrow f_0$ ,  $\tau \rightarrow \tau_0$  коэффициенты матрицы Фишера можно записать в виде

$$\Phi_{11}(\tau_0, f_0) = -\mathbf{M} \left\{ \frac{\partial^2}{\partial \tau^2} \ln(p(x|\tau, f)) \Big|_{\substack{\tau=\tau_0 \\ f=f_0}} \right\}, \quad (3.105)$$

$$\Phi_{12}(\tau_0, f_0) = -\mathbf{M} \left\{ \frac{\partial^2}{\partial \tau \partial f} \ln(p(x|\tau, f)) \Big|_{\substack{\tau=\tau_0 \\ f=f_0}} \right\}, \quad (3.106)$$

$$\Phi_{21}(\tau_0, f_0) = -\mathbf{M} \left\{ \frac{\partial^2}{\partial f \partial \tau} \ln(p(x|\tau, f)) \Big|_{\substack{\tau=\tau_0 \\ f=f_0}} \right\}, \quad (3.107)$$

$$\Phi_{22}(\tau_0, f_0) = -\mathbf{M} \left\{ \frac{\partial^2}{\partial f \partial f} \ln(p(x|\tau, f)) \Big|_{\substack{\tau=\tau_0 \\ f=f_0}} \right\}. \quad (3.108)$$

Ранее нами были фактически получены диагональные элементы матрицы Фишера, т.е.

$$\Phi_{11}(\tau_0, f_0) = -\frac{2E}{N_0} \frac{d^2}{d\tau^2} |\dot{\Psi}(\tau - \tau_0, 0)|_{\tau=\tau_0} = q^2 (2\pi\Delta T_{\phi})^2, \quad (3.109)$$

$$\Phi_{22}(\tau_0, f_0) = -\frac{2E}{N_0} \frac{d^2}{df^2} |\dot{\Psi}(0, f - f_0)|_{f=f_0} = q^2 (\Delta\Omega_{\phi})^2, \quad (3.110)$$

где

$$\dot{\Psi}(\tau, f) = \frac{1}{2} \int_{-\infty}^{+\infty} S^*(t) \dot{S}(t - \tau) e^{j2\pi ft} dt. \quad (3.111)$$

Функция неопределенности  $\dot{\Psi}(\tau, f)$  называется **комплексной частотно-временной функцией неопределенности**. Определим недостающие коэффициенты

$$\begin{aligned} \Phi_{21}(\tau_0, f_0) &= \Phi_{12}(\tau_0, f_0) = -\frac{2E}{N_0} \frac{\partial^2}{\partial \tau \partial f} |\dot{\Psi}(\tau - \tau_0, f - f_0)|_{\substack{\tau=\tau_0 \\ f=f_0}} = \\ &= -\frac{2E}{N_0} \operatorname{Re} \left[ \frac{\partial^2}{\partial \tau \partial f} \dot{\Psi}(\tau - \tau_0, f - f_0) \Big|_{\substack{\tau=\tau_0 \\ f=f_0}} - \frac{\partial}{\partial \tau} \dot{\Psi}(\tau - \tau_0, 0) \Big|_{\tau=\tau_0} \cdot \frac{\partial}{\partial f} \dot{\Psi}(0, f - f_0) \Big|_{f=f_0} \right] \\ \Phi_{21}(0, 0) &= -\frac{2E}{N_0} \operatorname{Re} \left[ \frac{-1}{2E} \int_{-\infty}^{+\infty} S^*(t) \dot{S}'(t) (j2\pi) dt + \frac{1}{4E} \int_{-\infty}^{+\infty} S^*(t) \dot{S}'(t) dt \int_{-\infty}^{+\infty} |S(t)|^2 (j2\pi) dt \right] = \end{aligned}$$

$$\begin{aligned}
&= -\frac{2E}{N_0} \operatorname{Re} \left[ \frac{-1}{2E} \int_{-\infty}^{+\infty} S^*(t) \dot{S}'(t) (j2\pi t) dt + \frac{j}{4E(2\pi)} \int_{-\infty}^{+\infty} |S(j\omega)|^2 \omega dt \int_{-\infty}^{+\infty} |S(t)|^2 (j2\pi t) dt \right] = \\
&= \frac{2E}{N_0} \operatorname{Re} \left[ \frac{1}{2E} \int_{-\infty}^{+\infty} S^*(t) \dot{S}'(t) (j2\pi t) dt \right] = \frac{2E}{N_0} \operatorname{Re} \left[ \frac{1}{2E} \int_{-\infty}^{+\infty} S^*(t) \dot{S}'(t) \left( \frac{\dot{S}'(t)}{\dot{S}(t)} \right) (j2\pi t) dt \right] = \\
&= \frac{2E}{N_0} \operatorname{Re} \left[ \frac{1}{2E} \int_{-\infty}^{+\infty} S^*(t) \dot{S}(t) \frac{\partial}{\partial t} (\ln(\dot{S}(t))) (j2\pi t) dt \right] = \\
&= \frac{2E}{N_0} \operatorname{Re} \left[ \frac{1}{2E} \int_{-\infty}^{+\infty} |S(t)|^2 \frac{\partial}{\partial t} (\ln(\dot{S}(t))) (j2\pi t) dt \right] = \\
&= \frac{2E}{N_0} \operatorname{Re} \left[ \frac{1}{2E} \int_{-\infty}^{+\infty} |S(t)|^2 \frac{\partial}{\partial t} (\ln(|\dot{S}(t)| + j\gamma(t))) (j2\pi t) dt \right] = \\
&= \frac{2E}{N_0} \operatorname{Re} \left[ \frac{j2\pi}{2E} \int_{-\infty}^{+\infty} |S(t)|^2 \frac{\partial}{\partial t} (\ln(|\dot{S}(t)|)) t dt - \frac{1}{2E} \int_{-\infty}^{+\infty} 2\pi |S(t)|^2 \gamma'(t) dt \right] = \\
&= -2\pi q^2 \frac{1}{2E} \int_{-\infty}^{+\infty} t |S(t)|^2 \gamma'(t) dt.
\end{aligned}$$

Здесь  $\gamma(t)$  - полная мгновенная фаза комплексной огибающей сигнала. Так как  $2\pi\Omega(t) = \gamma'(t)$ , где  $\Omega(t)$  - мгновенная частота сигнала, получим

$$\Phi_{21}(0,0) = -q^2 \frac{(2\pi)^2}{2E} \int_{-\infty}^{+\infty} t |\dot{S}(t)|^2 \Omega(t) dt, \quad (3.112)$$

Введем параметр частотно-временной связи  $\rho$  в виде

$$\rho = \frac{2\pi \int_{-\infty}^{+\infty} t |\dot{S}(t)|^2 \Omega(t) dt}{\Delta\Omega_{\text{эф}} \Delta T_{\text{эф}} \int_{-\infty}^{+\infty} |\dot{S}(t)|^2 dt}, \quad (3.113)$$

Тогда

$$\Phi_{21}(0,0) = -q^2 2\pi \Delta\Omega_{\text{эф}} \Delta T_{\text{эф}} \rho. \quad (3.114)$$

Таким образом, информационная матрица Фишера имеет вид

$$\mathbf{\Phi}(a_0, \varphi_0) = \begin{pmatrix} (2\pi \Delta T_{\text{эф}})^2 & -q^2 2\pi \Delta\Omega_{\text{эф}} \Delta T_{\text{эф}} \rho \\ -q^2 2\pi \Delta\Omega_{\text{эф}} \Delta T_{\text{эф}} \rho & q^2 (\Delta\Omega_{\text{эф}})^2 \end{pmatrix}, \quad (3.115)$$

Погрешность оценки амплитуды и фазы можно вычислить по формулам

$$\mathbf{D}\{\hat{\tau}_0, \hat{f}_0\} = \frac{1}{q^2 (\Delta\Omega_{\text{эф}})^2 (1 - \rho^2)}, \quad (3.116)$$

$$\mathbf{D}\{\hat{\tau}_0, \hat{f}_0\} = \frac{1}{q^2 (2\pi\Delta T_{\phi})^2 (1 - \rho^2)}. \quad (3.117)$$

Полученные выражения показывают, что погрешность совместной оценки частоты и задержки зависит от параметра частотно-временной связи. Погрешность минимальна и соответствует погрешности независимой оценки частоты или фазы, только если параметр частотно-временной связи равен нулю. Из (3.113) очевидно, что  $\rho = 0$ , для всех сигналов, у которых  $\Omega(t) = 0$  или симметрична относительно  $t = 0$ .

## ЗАКЛЮЧЕНИЕ

Оценка максимального правдоподобия комплексной амплитуды сигнала сводится к вычислению амплитуды и фазы комплексного интеграла. Погрешность независимой оценки времени запаздывания и частоты сигнала со случайной фазой зависит от длительности сигнала противоположенным образом. Чем больше длительность сигнала, тем лучше погрешность оценки частоты и хуже запаздывания. Выражения для погрешности показывают, что погрешность совместной оценки частоты и задержки зависит от параметра частотно-временной связи. Погрешность минимальна и соответствует погрешности независимой оценки частоты или фазы, только если параметр частотно-временной связи равен нулю.

## КОНТРОЛЬНЫЕ ВОПРОСЫ

1. Чем определяется потенциальная погрешность оценки параметров сигнала со случайной фазой, наблюдаемого на фоне аддитивного БГШ?
2. Каков оптимальный алгоритм совместной оценки амплитуды и фазы сигнала на фоне БГШ.
3. Что такое аномальные ошибки в теории оценивания?
4. Что характеризует комплексная частотно-временная функция неопределенности сигнала?